

大阪市立大学

倉田宗章

明石工業高専

高端宏直

大阪市立大学

谷平勉

[1] まえがき……従来弾性基礎上のはりおよび板の解法は負の反力を考慮した場合が多くあった。^{1), 6), 7)}(図-1参照) 本文では差分法を用いて負の反力を考慮しない非線形の場合についての解法と計算結果を示した。はうについての非線形問題の解は曲げ問題として領域を分割して境界条件を満足さす方法や、HeavisideのStep Function を用いた解答がみられる。差分法を用いた理由としては、線形問題として式を立ててその演算結果がだわみ $w < 0$ の場合はね常数を 0 とおきつきの演算に入り、逐次演算を繰返し収束させ事ができるからである。すなわち逐次近似法により非線形問題を取扱う方法である。はじめにはうについての結果を参考までにのべて、ついで本題の板についてのべる。

[2] はり……集中荷重 P と等分布荷重 \bar{g} が作用した無限長のはりを解いた。実際には図-2のような片側を N 等分した有限長のはりとして解く。基礎方程式 $\frac{d^4 w}{dx^4} + 4\lambda^4 w = \frac{4\lambda^4}{k}$ (ただし $\lambda^4 = \frac{k}{EI}$, $\bar{g} = g + \frac{P}{EIx}$) より代表格架の差分表示はつきの通りである。

$$\begin{array}{ccccccc} & 1 & -4 & 6+\delta & -4 & 1 & \\ \bullet & \bullet & \bullet & \bullet & \bullet & \bullet & \bullet \\ k-2 & k-1 & k & k+1 & k+2 & & \end{array} \quad w = \frac{4P\lambda}{k} \Delta^4 \left(\alpha + \frac{1}{\Delta} \right) \quad \dots \quad (1)$$

 ここで $\alpha = \bar{g}/P\lambda$, $\delta = 4\Delta^4/k$; 地盤のはね常数, EI: 曲げ刚さ, である。 $\alpha = 2\bar{c}^4 = 0.02161$ で線形と非線形の限界を示す。自由端においては $w''' = w'' = 0$ より $w_k = 2w_{k-1} - w_{k-2}$, $w_{k+2} = 4w_k - 4w_{k-1} + w_{k-2}$ の条件を得て差分表示すると

$$\begin{array}{ccccccc} & 2 & -4 & 2+\delta & & & \\ \bullet & \bullet & \bullet & \bullet & \bullet & \bullet & \bullet \\ k-2 & k-1 & k & k+1 & k+2 & & \end{array} \quad w = \frac{4P\lambda}{k} \Delta^4 \left(\alpha + \frac{1}{\Delta} \right) \quad \dots \quad (2)$$
 となる。(他の点は省略)
 曲げモーメントとせん断力の一般式は $M_k = \frac{k}{4\lambda^4} (-w_{k+1} + 2w_k - w_{k-1})$, $Q_k = \frac{k}{8\lambda^4} \{ -w_{k+2} + 2(w_{k+1} - w_k) + w_{k-2} \}$ $\dots \quad (3)$ となる。つきに各図によって計算結果を説明しよう。図-3は $\alpha=0$ ($\bar{g}=0$), $D=6$, $N=30$ の場合の逐次演算の様子である。6回目で収束している。図-4は種々の α についてのたわみ図である。 $\alpha=0.0216$ が浮上寸前の状態である。 α が小さくなるにつれて大きく浮上っている。図-5は種々の α に対する曲げモーメントで図-6はせん断力を示している。最大曲げモーメントおよび最大せん断力については従来の解法と大きな差はないことがわかる。載荷点下($x=0$)でのたわみの精度は $N=30$ で 1% 弱, $N=40$ で 0.6% の誤差, $N=60$ で 0.3% 程度の誤差が生じている。他の点での精度はこれらよりよい。

[3] 板……本文では四辺自由四隅自由の矩形についてのべる。問題を簡単にするために正方形板とし図-7のような一辺 Δ ($= \lambda \cdot \Delta x = \lambda \cdot \Delta y$) の正方格子とし各格点に記号をつける。弾性基礎上の板の基礎方程

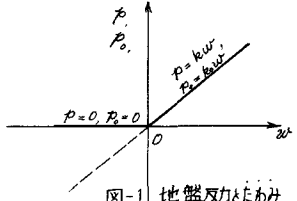


図-1. 地盤反力たわみ

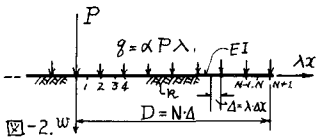


図-2. w

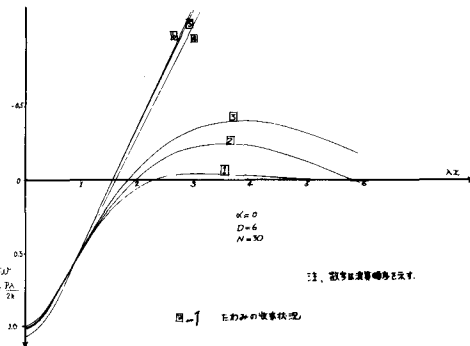


図-3. たわみの収束状況

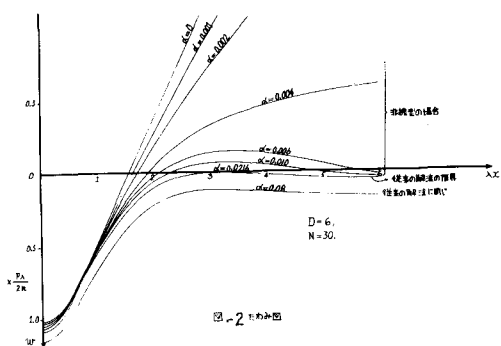


図-4. たわみ図

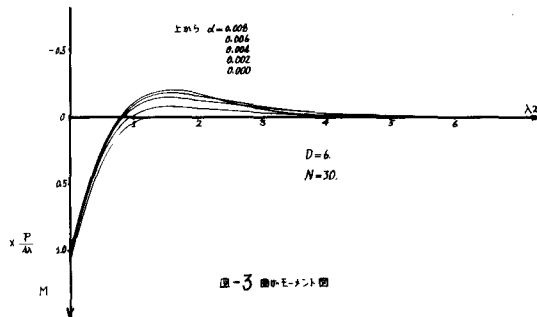


图-3 静かモード図

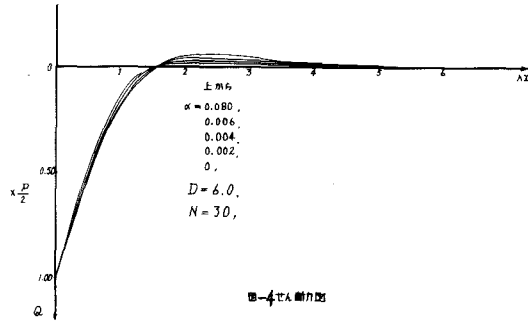


图-4 せん断力图

式は次式である。

$$\nabla \nabla W + \lambda_0^4 W = \frac{\bar{g}_0}{D_s} \quad (4)$$

ここで $\nabla \nabla W = \frac{\partial^4 W}{\partial x^4} + 2 \frac{\partial^4 W}{\partial x \partial y} + \frac{\partial^4 W}{\partial y^4}$, $\lambda_0^4 = \frac{k_0}{D_s}$, $D_s = \frac{Eh^3}{12(1-\mu^2)}$ である。 k_0 はばね定数, D_s は板の剛度, λ_0 は板厚(本文では一定), μ はボアソン比(本文での計算結果は $\mu=0.3$ の場合)である。上式を一般格子についての差分式に展開すると

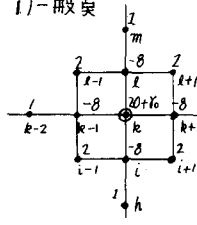
$$W_{k+1} + \lambda_0^2 W_k = \frac{P \lambda_0^2}{k_0} (\alpha_0 \Delta^4 + \beta \Delta^2) \quad (5)$$

となる。

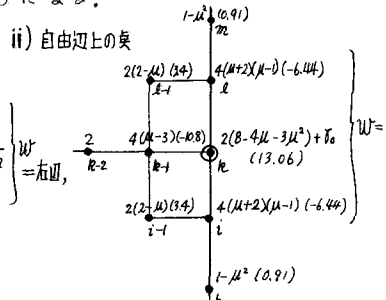
ここで $W_{k+2} = W_{k+1} - 8W_{k+1} + 20W_k - 8W_{k-1} + W_{k-2} + W_m + 2W_{k+1} - 8W_k + 2W_{k-1} + 2W_{k+1} - 8W_k + 8W_{k-1} + W_h$,

$\lambda_0 = \Delta^4$, $\Delta = \lambda_0 \Delta x$, $\alpha_0 = g_0 / P \lambda_0^2$, $\bar{g}_0 = g_0 + \frac{P}{(4x)^2} \cdot \beta = P \lambda_0^2 (\alpha_0 + \frac{1}{4x^2} \cdot \beta)$ である。 β の値は集中荷重載荷格子が隅角のとき $\beta=4$, 頂上のとき $\beta=2$, その他の点で $\beta=1$ である。つきに主要格子について差分式を固式化するところのようになる。

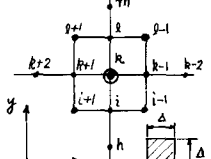
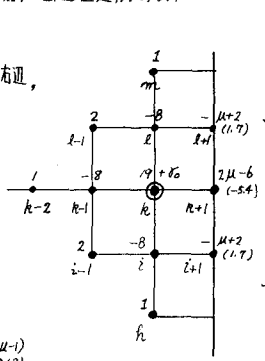
i) 一般格子



ii) 自由辺上の点

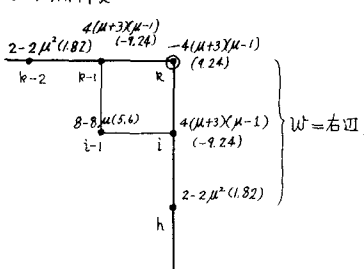


iii) 自由辺近傍の点

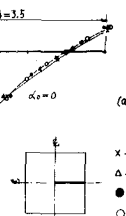
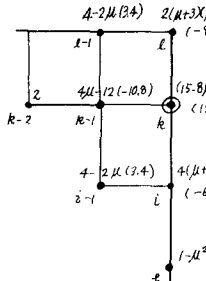


$W = \text{右辺}$

iv) 隅角点

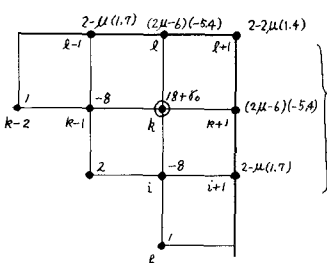


v) 隅部近傍

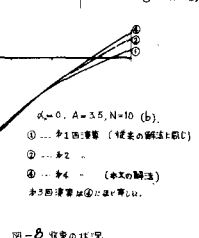
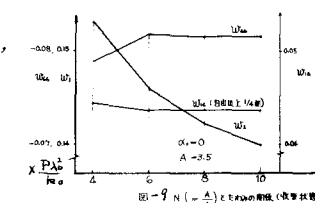


$x \dots N=4, 13\%$
 $\Delta \dots N=6, 20\%$
 $\bullet \dots N=8, 45\%$
 $\circ \dots N=10, 66\%$

vi) 隅部近傍



$W = \text{右辺}$



$\alpha=0, A=3.5, N=10$ (b)
① ... 1回計算 (従来の解法)
② ... $\alpha=0$
③ ... $\alpha=0$ (本文の解法)
参考用計算は②に近い。

それでは計算結果について説明しよう。図-8(a)は $\alpha_0=0$ ($\beta_0=0$)で集中荷重Pが中央載荷の場合でたわみと分割数Nとの関係を示している。

載荷点以外はかなり近い値を示している。図-8(b)はN=10の場合の収束の状況を示している。4回の演算で収束している。

図-9は分割数Nと載荷点下のたわみ W_1 、隅角点 W_{45} 、対称軸上の1/4点 W_{45} との関係である。 W_1 , W_{45} はN>6で一定しているが W_{45} はNの増加に従って減少している。図10とは

$\alpha_0=0$ で中央集中荷重載荷の場合の等たわみ線図である。図-10は従来の負の反力を考慮した場合の解である。図-11

は本文の解法による。両者のO-lineが $\frac{P\lambda_0^2}{k_0}$ で一致していることがよくわかる。図-11, 11-1, 11-2, 11-3, は辺長が $2A=7.0$ で α_0 を変化させた場合である。等分布荷重を序々に増大させた場合に相当する。図-11, 11-4, 11-5, 11-6は $\alpha_0=0$ で辺長 $2A$ を小さく変化させた場合である。いずれこの場合もO-lineが外側に移動していることがわかる。 $\alpha_0=0$ のとき浮上りの生じない限界の辺長は $A=1.8$ の場合である。

図-12は前図の最大たわみ W_1 と最小たわみ W_{45} に注目してそれらとひずみ A の関係を示したものである。 W_1 は一定した傾向を示すが W_{45} は大きな変化がみられる。図-13は接地領域($W>0$ の部分)を円曲線で近似して、その半径R($=\lambda_0 A$)

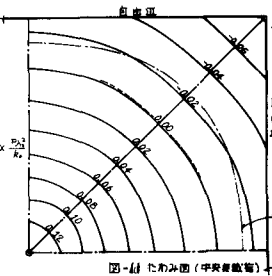


図-8(a)たわみ図(中央荷重載荷)

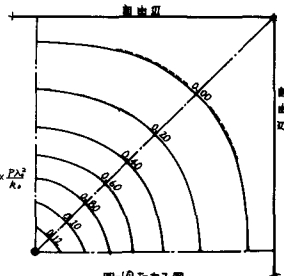


図-8(b)たわみ図

$\alpha_0=0$
A=3.5
N=10
(従来の方法)

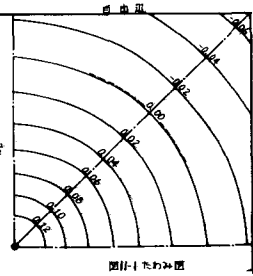


図-9たわみ図

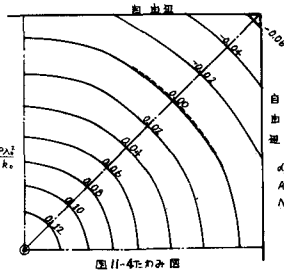


図-10たわみ図

$\alpha_0=0$
A=3.5
N=10
(従来の方法)

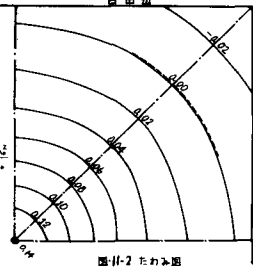


図-11たわみ図

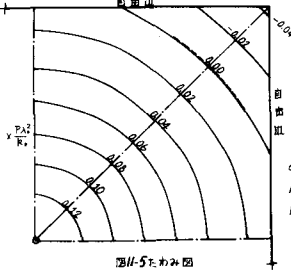


図-11-1たわみ図

$\alpha_0=0$
A=3.5
N=10

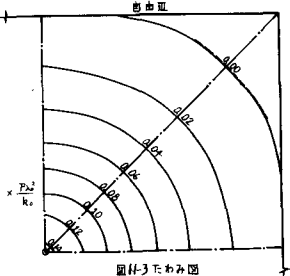


図-11-2たわみ図

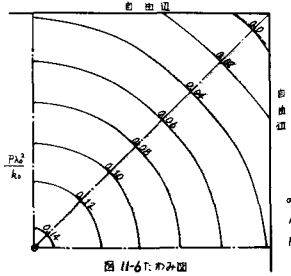


図-11-3たわみ図

$\alpha_0=0$
A=3.5
N=10

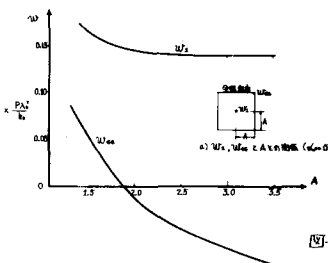
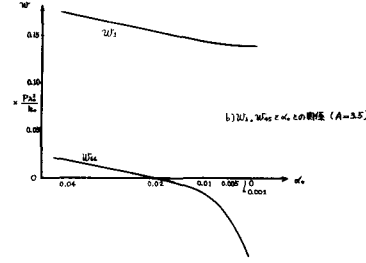
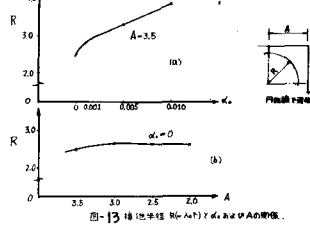


図-12



b) W_1 , W_{45} と A との関係 ($A=3.5$)



a) W_1 , W_{45} と A との関係 ($A=3.5$)

と $A=3.5$ のときの α_0 との関係と、 $d_0=0$ のときの R と A の関係を示した。 R と d_0 は一次関係的で、 A に対して R はほぼ一定のようである。図-14は対角線と対角線上の主要曲げモーメントについて従来の方法と比較した。大差がないことがわかる。図-15は載荷点下の M_{x-1} と α_0, A との関係である。 M_{x-1} は α_0 にほとんど関係なく一定で A とは一次関係的である。図-16は隅角部に P が作用し $d_0=0.005, 2A=7.0, N=8$ の場合の等たわみ曲線である。中央附近が浮上している。図-17は w_1, w_{45} と α_0 および $2A$ との関係である。図-18, 19は自由凹中点に P が作用した場合である。

4 むすび…。はうおおよび板とともに浮上りを生ずる場合は本法により解くことができ、浮上りを生ずる限界の寸法を知ることができた。ii. 曲げモーメントに関しては両者とも従来の解法でさしつかえない。iii. 接地部分は円に近似できる。かつ α_0 が一定のときその半径は辺長による影響は少なくほぼ一定である。上記の結果より差分法による解法は実用上よい結果を示すことわかる。

大阪市大電算機 FACOM 270-30 を使用した事を付記する。

以上。

[参考文献]

1. M. Hetényi: Beams on Elastic Foundation. The Univ. of Michigan Press. 1964.
2. Flügge: Handbook of Eng. Mechanics. McGraw-Hill. 1962, 45-1 (D.G.Ashwell: Nonlinear Problems)
3. 倉田, 高端, 谷平 弾性基礎上のはうらの一非線形問題. 土木学会第21回年次学術講演会 I-28, 1966.
4. 倉田, 高端, 谷平 弹性基礎上のはうらの実験的考察. 土木学会関西支部年次学術講演会 I-2, 1966.
5. Tsai, Westmann: Beam on Tensionless Foundation. Jour. of EM.Div. ASCE. Oct 1967. EM.5
6. 原口. 弹性基礎上の矩形板. 山海堂 1964.
7. 能町. 弹性基礎上にある凹辺, 四隅自由な矩形板の曲げについて. 土木学会論文集 第32号 昭31-3.

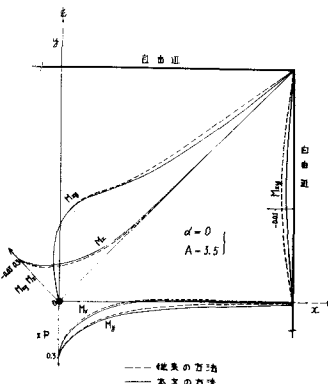


図-14 箱型モーメント図

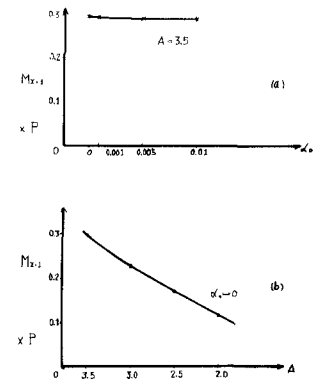


図-15 箱型モーメント図 (M_{x-1} (載荷点) と α_0 および A の関係)

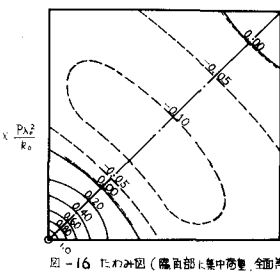
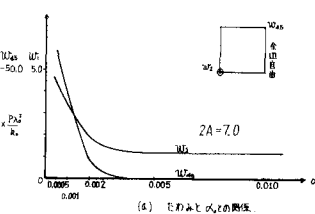


図-16 たわみ図(隅角部に集中荷重, 全面荷重分布荷重)



(a) たわみとひずみの関係

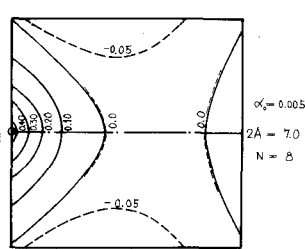


図-18 たわみ図(中央部に集中荷重, 全面荷重分布荷重)

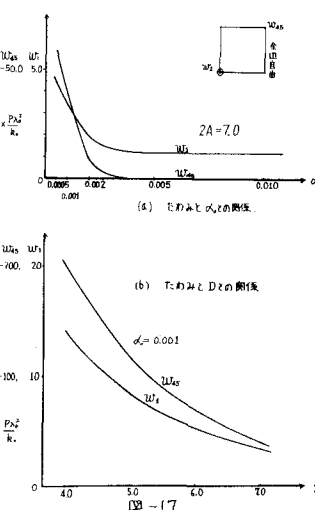


図-19 たわみとひずみの関係 (自由凹中点荷重)